

(HUANJING KEXUE)

ENVIRONMENTAL SCIENCE

第35卷 第5期

Vol.35 No.5

2014

中国科学院生态环境研究中心 主办

斜学出版社出版



ENVIRONMENTAL SCIENCE

第35卷 第5期 2014年5月15日

目 次

长三角地区秸秆燃烧排放因子与颗粒物成分谱研究
经分别指泄泄分配性 二年 "况有刑告"的时期值租罚
第晓霜,司徒淑娉,王雪梅,丁翔,王新明,闫才青,李小滢,郑玫(1654) 2013 年夏季嘉兴市一次光化学事件的观测分析
连续测量大气·OH的化学电离飞行时间质谱仪的研制
合肥市区典型景观水体氮磷污染特征及富营养化评价 ————————————————————————————————————
九龙江流域潜在病原菌污染分析 侯丽媛,胡安谊,马英,于昌平(1742)
基于犹动分析方法的 AnnAGNPS 模型水文水质参数敏感性分析
江湖关系变化对鄱阳湖沉积物重金属分布及生态风险影响 刘婉清, 倪兆奎, 吴志强, 王圣瑞, 曾清如(1750)鄱阳湖-乐安河湿地水土环境中重金属污染的时空分布特征 简敏菲, 李玲玉, 徐鹏飞, 陈朴青, 熊建秋, 周雪玲(1759)典型岩溶水系统中溶解性有机质的运移特征 姚昕, 邹胜章, 夏日元, 许丹丹, 姚敏(1766)基于扰动分析方法的 AnnAGNPS 模型水文水质参数敏感性分析
FePMo ₁ , 催化电化学反应降解染料废水的研究 ····································
本焙,杨昌柱,濮文虹,杨家宽,白俊,王晶,周玄月,蒋国盛,李春阳,刘福标(1857)不同好/厌氧区容积负荷对生物膜/颗粒污泥耦合工艺脱氮除磷的影响
北京常见绿化树种叶片富集重金属能力研究 李少宁,孔令伟,鲁绍伟,陈波,高琛,石媛(1884) 北京常见绿化树种叶片富集重金属能力研究 李少宁,孔令伟,鲁绍伟,陈波,高琛,石媛(1891) 秦州市区重金属污染的藓袋法与路尘法评价研究 李明市区重金属污染的藓袋法与路尘法评价研究 王旭,闫瑞瑞,邓钰,闫玉春,辛晓平(1909) 故牧对呼伦贝尔草甸草原土壤呼吸温度敏感性的影响 王慈,郭胜利,刘庆芳,张彦军,姜维韶,郭慧敏,李如剑(1915)
重庆铁山坪森林土壤汞释放通量的影响因子研究
污灌区盐分累积对土壤汞吸附行为影响的模拟研究 郑顺安,李晓华,徐志宇(1939)石灰干化污泥稳定后土壤中 Pb、Cd 和 Zn 浸出行为的研究 李翔,宋云,刘永兵(1946)大连市海产品中短链氯化石蜡的含量与分布研究 虞俊超,王宝盛,王亚韡,孟梅,陈茹,江桂斌(1955)应用生物配体模型(BLM)研究辽河与太湖水体中铜对大型溞的急性毒性 思思 表 思思 表 思想 表 思想 表 思思 表 是 表 表 表 表 表 表 表 表 表 表 表 表 表 表 表
有化铜纳米颗粒对水稻幼苗根系代谢毒性的研究 ————————————————————————————————————
不同施氮量下水稻分蘖期光合碳向土壤碳库的输入及其分配的量化研究:「C 连续标记法"
产中烷微生物研究概况

连续测量大气·OH的化学电离飞行时间质谱仪的研制

窦健^{1,2},花磊¹,侯可勇¹,蒋蕾^{1,2},谢园园^{1,3},赵无垛^{1,3},陈平^{1,3},王卫国¹,田地²,李海洋^{1,2*} (1. 中国科学院大连化学物理研究所,大连 116023; 2. 吉林大学仪器科学与电气工程学院,长春 130061; 3. 中国科学院大学,北京 100049)

摘要: 搭建了一套化学电离飞行时间质谱仪用于连续测量大气·OH. 该仪器采用了基于⁶³Ni放射源的双管正交式结构大气压化学电离源电离大气中的·OH,最大程度地避免了试剂气体电离及滴定、转化反应间的相互干扰. ⁶³Ni放射源首先电离 HNO₃ 试剂气体得到试剂离子 NO₃ , ·OH在反应管中与 SO₂反应最终转化为H₂SO₄ , NO₃ 与H₂SO₄ 发生化学电离反应生成 HSO₄ 离子,进入到质谱仪中进行检测,通过测量 NO₃ 与 HSO₄ 离子的强度,利用化学电离反应方程可直接计算出大气中 OH 的浓度. 所研制仪器用于实验室内·OH的在线检测,在 5 s 内测得·OH的浓度为1. 6 × 10^6 个·cm $^{-3}$,实验结果显示该仪器可用于原位连续测量大气中的超痕量自由基.

关键词:大气压化学电离;飞行时间质谱仪;负离子; ·OH;连续测量 中图分类号: X851 文献标识码: A 文章编号: 0250-3301(2014)05-1688-06 **DOI**: 10.13227/j. hjkx. 2014. 05. 008

Development of a Chemical Ionization Time-of-Flight Mass Spectrometer for Continuous Measurements of Atmospheric Hydroxyl Radical

DOU Jian^{1,2}, HUA Lei¹, HOU Ke-yong¹, JIANG Lei^{1,2}, XIE Yuan-yuan^{1,3}, ZHAO Wu-duo^{1,3}, CHEN Ping^{1,3}, WANG Wei-guo¹, TIAN Di², LI Hai-yang^{1,2}

(1. Dalian Institute of Chemical Physics, Chinese Academy of Sciences, Dalian 116023, China; 2. College of Instrumentation & Electrical Engineering, Jilin University, Changchun 130061, China; 3. University of Chinese Academy of Sciences, Beijing 100049, China)

Abstract: A home-made chemical ionization time-of-flight mass spectrometer (TOFMS) has been developed for continuous measurements of atmospheric hydroxyl radical. Based on the atmospheric pressure chemical ionization technique, an ionization source with orthogonal dual tube structure was adopted in the instrument, which minimized the interference between the reagent gas ionization and the titration reaction. A 63 Ni radioactive source was fixed inside one of the orthogonal tubes to generate reactant ion of NO_3^- from HNO_3 vapor. Hydroxyl radical was first titrated by excess SO_2 to form equivalent concentrations of H_2SO_4 in the other orthogonal tube, and then reacted with NO_3^- ions in the chemical ionization chamber, leading to HSO_4^- formation. The concentration of atmospheric hydroxyl radical can be directly calculated by measuring the intensities of the HSO_4^- product ions and the NO_3^- reactant ions. The analytical capability of the instrument was demonstrated by measuring hydroxyl radical in laboratory air, and the concentration of the hydroxyl radical in the investigated air was calculated to be 1.6×10^6 molecules \cdot cm⁻³, based on 5 seconds integration. The results have shown that the instrument is competent for in situ continuous measurements of atmospheric trace radical.

Key words: atmospheric pressure chemical ionization; time-of-flight mass spectrometer; negative-ion; hydroxyl radical; continuous measurements

近年来,我国多个大中型城市频繁出现灰霾天气,严重影响人们的身体健康^[1~3],这种状况的产生,与大气中不断增加的 CO、NO_x、碳氢化合物、挥发性有机物 (VOCs) 以及其它痕量污染物密切相关^[4~11].这些环境污染物通过与大气中的氧化剂反应造成更为严重的空气污染. 氢氧自由基(·OH)是大气化学中最活跃的氧化剂,能与大气中绝大多数组分发生化学反应,是大气化学反应的主要引发剂和催化剂,酸雨、对流层臭氧平衡、城市光化学烟雾,以及二次气溶胶形成等过程都有·OH和 HO₂自由基的参与^[12~18]. 大气中的 VOCs,例如大气中的

甲烷(CH_4),可以快速与 \cdot OH反应生成可溶解氧化物 CH_2 0、 CH_3 COOH 发生沉降,每年排入大气中的 CH_4 的量为 5. 15 × 10^{14} g,而每年 \cdot OH氧化的 CH_4 的量为 4. 45 × 10^{14} g,占 CH_4 总量的 80%以上[19]. 从某种程度来看, \cdot OH决定了这些组分在大气中的寿命和浓度.

在低空对流层中,·OH的主要来源有两个:一是 O₃ 在 320 nm 光波下的光解,二是 HO₃ 与氦氧化物

收稿日期: 2013-07-25; 修订日期: 2013-09-06

作者简介: 窦健(1987~),男,硕士研究生,主要研究方向为在线质谱监测技术,E-mail:doujian1217@gmail.com

^{*} 通讯联系人,E-mail;hli@ dicp. ac. cn

以及臭氧的反应. \cdot OH的平均寿命通常为几秒甚至 更短,而它在对流层的最大浓度仅有 $10^6 \sim 10^7$ 个 \cdot cm $^{-3[20]}$,因此,对于 \cdot OH的检测十分困难.

目前,在线测量对流层中·OH的方法主要有以 下6种^[21]:气体扩张激光诱导荧光技术(FAGE)、差 分吸收光谱技术(DOAS)、¹⁴CO示踪技术、水杨酸吸 收技术、自旋捕获技术以及化学电离质谱技术 (CIMS). FAGE 作为一种在低压条件下测量·OH的 激光诱导荧光技术(LIF),由于系统结构复杂,装置 笨重,不利于开展现场测量. 此外,压力的降低,既 会增加·OH出现光学饱和现象的几率,也可能改变 ·OH的转动分布情况^[22]. DOAS 是利用空气中的分 子气体的窄带吸收特性及强度来鉴别气体成分、推 演气体浓度的一种技术. 相比其他方法, DOAS 不需 要校正,对·OH浓度的检测更精确. 可是,其激光系 统价格昂贵,数据处理过程复杂. ⁴℃0示踪技术是 一种利用光稳态对·OH进行研究的方法,但鉴于它 需要分别测量¹⁴CO、¹⁴CO,的浓度,实际操作较为繁 杂[21,23,24]. 水杨酸吸收技术和自旋捕获技术,则由 于其在检测中所需的时间均大于 20 min, 从而不适 合应用于·OH的连续在线检测.

CIMS 是一种利用·OH的化学特性对其进行检测的技术. 在所有外场测量·OH的技术中,CIMS 的灵敏度是最高的,其检测限(LOD)可达到 10^5 分子·cm⁻³,单次测量时间小于 1 min. CIMS 对·OH进行测量的关键在于通过过量的 SO_2 将其滴定,从而把·OH全部转化为 H_2SO_4 ,再用 NO_3 ⁻ 离子通过化学电离方法把 H_2SO_4 电离为 HSO_4 ⁻ 离子,最终通过测量得到 NO_3 ⁻ 与 HSO_4 ⁻ 离子的强度,完成对·OH的检测 [25]. 其基本原理如下:

$$SO_2 + \cdot OH + M \longrightarrow HSO_3 + M$$
 (1)

$$HSO_3 + O_2 \longrightarrow SO_3 + HO_2$$
 (2)

$$SO_3 + H_2O + M \longrightarrow H_2SO_4 + M$$
 (3)

$$H_2SO_4 + NO_3^- \longrightarrow HNO_3 + HSO_4^-$$
 (4)

目前, CIMS 中普遍采用了四极杆质量分析器 (QMS), 其结构相对简单, 而且有大量的商品化产品可供选择. 但是 QMS 是单一 m/z 选择器, 测量不同 m/z 离子时需要改变 QMS 的射频电源的频率. 当需要同时测量多个离子时, 每个离子的利用率就要降低. 为此, 笔者采用飞行时间质量分析器 (TOFMS)对·OH进行检测, 它可以在一次采集过程中同时完成对于 NO₃ 离子及 HSO₄ 离子的测量. TOFMS 的这种多离子同时测量的能力, 不仅大大缩

短了检测时间,而且避免了分时间段对不同离子进行检测时,由仪器系统及外界环境波动所引起的误差,提高了测量的准确性.本研究基于 CIMS 的检测原理,设计了在线化学电离源,以垂直加速飞行时间质谱(oa-TOFMS)作为不同质荷比化合物的分析器,研制了一台用于原位连续测量大气活性自由基的负离子飞行时间质谱仪.

1 材料与方法

1.1 试剂

浓硝酸(浓度 65% ~ 68%, 天津市科密欧化学试剂有限公司), SO₂(浓度 0.99%, 大连大特气体有限公司), 丙烷(分析纯, 大连大特气体有限公司). 实验中所用的吹扫气与稀释载气均为经分子筛与干燥管处理过的压缩空气.

1.2 仪器结构

图 1 是自行研制的大气压化学电离源负离子 oa-TOFMS 的结构示意,它主要包括 4 个部分:离子 源、离子调制系统、飞行时间质量分析器、信号采 集处理系统. ·OH在离子源中经过大气压条件下的 滴定、化学电离后,转化成负离子 HSO;,产生的离 子通过一个孔径为 Φ 400 μ m 的 Sampler 小孔进入 到质谱中. 随后,离子在离子调制系统中的射频四 级杆、静电透镜的作用下,最终被整形成一个长方 形截面的离子束引出至飞行时间质量分析器中进行 检测. 仪器正常工作时, Sampler 和 Skimmer1 之间 腔体的真空由一台抽速为7 L·s⁻¹的机械泵(Agilent Triscroll[™] 600)维持,其真空度约为 150 Pa; 离子调 制系统内射频四极杆腔体连接有一台抽速为 300 L·s⁻¹的分子泵 (Hipace 300, 德国 Pfeiffer 公 司),真空度维持在1 Pa 左右; 而飞行时间质量分 析器腔体则通过一台抽速为1200 L·s⁻¹的分子泵 (FF-200/1200C,北京中科科仪公司)来保证 4.5× 10⁻⁴ Pa 的高真空环境. 两台分子泵共同使用一台 抽速为7 L·s⁻¹的机械泵(Agilent Triscroll™ 600)作 为前级泵. 飞行时间质量分析器采用垂直加速直线 式的结构,无场飞行区长度为790 mm.

1.3 进样系统及电离源

仪器采用了双管正交式大气压化学电离源设计,其结构如图 2 所示. 自由基的滴定、转化反应与NO₃ 试剂离子的产生分别在两个相互独立且夹角为90°的管路中进行. 其中,滴定、转化反应管长122 mm,直径 15 mm; 试剂离子产生管长 59 mm,直径 8 mm. 放射性活度为 5 mCi 的⁶³Ni放射源固定在

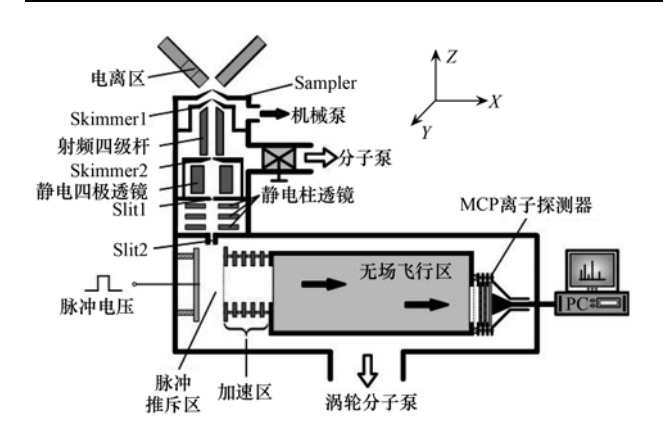


图 1 ·OH化学电离飞行时间质谱仪(TOFMS)结构示意

Fig. 1 Schematic diagram of the •OH radical chemical ionization time-of-flight mass spectrometer (TOFMS)

试剂离子产生管内,距离化学电离反应区 6 mm. 端盖电极、聚焦环电极和 Sampler 之间有聚四氟乙烯绝缘垫间隔,构成相对密闭的电离区结构. 尾气出口连接有尾气泵,通过调节尾气泵的抽速来控制大气·OH气体样品的进样量.

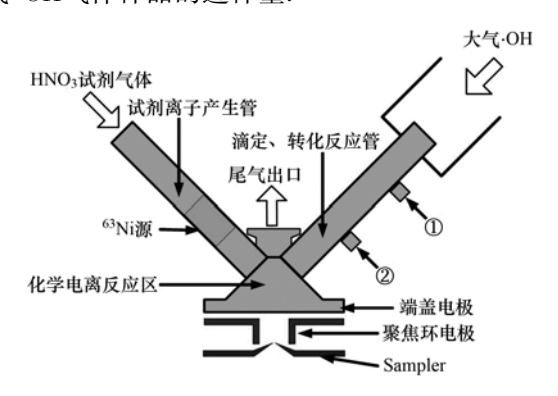


图 2 仪器的滴定、转化反应管及电离源内部结构示意

Fig. 2 Schematic diagram of the titration and ionization system of the instrument

进行检测时,流速为 1 mL·min⁻¹的浓 HNO₃ 顶空吹扫气,经过流速为 550 mL·min⁻¹的载气稀释后作为反应试剂气体,进入⁶³Ni放射源电离. 控制尾气泵的抽速,将进入到滴定、转化反应管的空气的流量维持在 850 mL·min⁻¹. 根据管道中气体介质的雷诺数计算公式 $Re = \rho v d / \eta$ (式中,v、 ρ 、 η 分别为流体的流速、密度与黏性系数,d 为管道直径),内径为 Φ 15 mm 的反应管内气流的雷诺数小于 200,呈现为稳定的层流,在最大程度上避免了·OH与反应管的管壁碰撞造成的损失.

实验中,滴定与转化反应的试剂气体 SO_2 由管壁上内径为 Φ 2 mm 的小孔① 以 10 mL·min ⁻¹的流速进入到反应管中,与空气中的·OH混合,最终将其

转化为 H_2SO_4 进入到化学电离反应区中(图 2).除此之外,还在小孔① 中以 10 mL·min^{-1} 的流速间隔通入丙烷(C_3H_8),由于·OH与 C_3H_8 的反应速度比与 SO_2 的反应速度快,因此在通入 C_3H_8 时,·OH完全被 C_3H_8 消耗掉,从而得到背景谱图. 但是由反应式(2)可以看出,在滴定、转化过程中生成了中间产物 HO_2 . 不仅如此,日间环境气体中 HO_2 自由基的浓度通常比·OH的浓度高1~2个数量级. 在有 NO存在时,会发生如反应式(5)所示的反应生成·OH,从而影响·OH的检测[20].

$$NO + HO_2 \longrightarrow NO_2 + \cdot OH \tag{5}$$

为了减小由此带来的影响,在沿气流方向距离小孔① 14 mm,内径同样为 $\Phi 2 \text{ mm}$ 的小孔② 中,以 10 mL·min^{-1} 的流速通入过量的 C_3H_8 ,来消除由此产生的·OH.与此同时,在电离区内产生的以 NO_3^- 和 HNO_3 · NO_3^- 为主的负离子在电场和载气的共同作用下也进入化学电离反应区. NO_3^- 和 H_2SO_4 在反应区内通过离子分子反应生成 HSO_4^- ,并由 Sampler小孔进入到质谱中检测.

在这种进样系统及电离源结构中,试剂离子的产生以及·OH的滴定、转化反应分别在不同的管路中进行,互不干扰,有利于对其进行精确地控制. 化学电离反应区位于进样 Skimmer 的正上方,使产物离子在第一时间内进入到质谱中,最大程度地缩短了其在大气压条件下传输的距离,有效地减少了损失.

1.4 离子调制系统

图 1 中 Skimmer1 与 Slit2 之间的部分,为仪器的离子传输及调制系统,由低压射频四级杆、静电四级透镜以及静电柱透镜这 3 个部分组成,其作用是将经 Sampler 进入到质谱中的离子整形成为扁平状的长方形截面离子束,再通过 Slit2 垂直引出至飞行时间质量分析器的加速区中.

低压射频四级杆作为大气压电离源与质谱仪之间的传输装置,通过碰撞聚焦减小了离子传输过程中的空间分散,抑制了真空差分时离子的扩散. 射频四级杆工作在 1 Pa 左右的气压条件下,由四根相互平行,内切圆半径 r_0 = 2.615 mm,杆半径 r_c = 3 mm,杆长 L = 143 mm 的不锈钢杆组成,固定于Skimmerl 下方 4 mm 处,且每根射频四级杆靠近Skimmerl 的端面,都被切削成 45° 角,以保证其能够与 Simmerl 有效的配合,进而为通过 Skimmerl 的离子提供一个更大的接收角度. 正常工作时,射频四

级杆的工作电压 V_{pp} = 78.4 V, 频率 f = 625 kHz. 经过射频四级杆调制整形的离子, 其能量发散接近于气体分子热运动的水平, 且沿轴线会聚成直径小于1 mm 的离子束.

静电四极透镜位于射频四级杆下方 17 mm 处, 为 4 根直径 20 mm,长度 40 mm 的圆柱电极.正常工作时, X 方向的两根相对电极所加电压均为 – 16 V,而 Y 方向两电极所加电压均为 – 13 V. 这使得通过静电四极透镜的离子束,在 X 方向上得到压缩,束截面由圆形变成长方形,从而更大程度的通过Slit1 与 Slit2.

与四级透镜不同,静电柱透镜由 6 块高光洁度的不锈钢长方体组成. 如图 1 中所示, 6 块电极沿 X 轴方向被分为左右对称的两组,每组 3 块,组间距离为 10 mm. 所有电极均为 40 mm×15 mm×10 mm的长方体,且组内相邻电极间由厚度 2 mm的绝缘层隔开. 静电柱透镜可以使穿过的离子束,在 X 轴方向上被准直. 不仅如此,它还可以在一定程度上弥补离子调制系统与质量分析器之间的装配误差. 图 3 为整个静电透镜离子束整形系统的 SIMION 软件模拟. 最终进入到质量分析器的离子束截面大小约为;2 mm×20 mm.

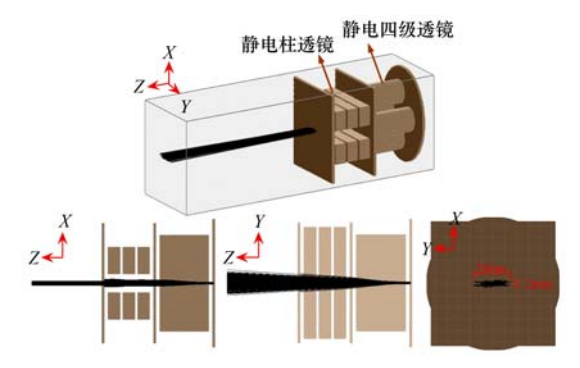


图 3 静电透镜离子束整形系统中离子飞行轨迹的 SIMION 软件模拟示意

Fig. 3 Simulation of the trajectories for the electrostatic lens with SIMION

2 结果与讨论

2.1 质谱的分辨率

在对整套飞行时间质谱仪的电压参数、离子光学系统和狭缝的尺寸参数,以及脉冲延迟时间参数优化后,仪器的最优分辨率超过 600. 图 4 是测量浓度为 1%的 SO_2 样品时得到的质谱图,由图中可以看出,产生的主要是硫酸氢根离子 HSO_4^- (m/z=97)和其团簇离子 $[H_2SO_4]_2$ HSO_4^- (m/z=293). 对 $[H_2SO_4]_1$ HSO_4^- 的

峰进行高斯拟合,如图 4 所示,其单峰分辨率达到了643.

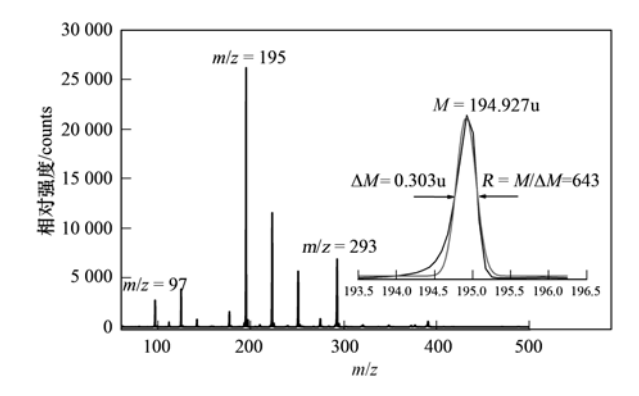


图 4 浓度 1%的 SO₂ 样品的飞行时间质谱图 及其质量分辨率的计算

Fig. 4 Time-of-flight mass spectrum of $1\%~\mathrm{SO}_2$ gas sample and the calculation of mass resolution

2.2 室内空气中·OH的检测

如图5所示,为在小孔① 中不通入 C_3H_8 只通入 SO_2 ,以及同时通入 C_3H_8 和 SO_2 的条件下,得到的 实验室空气中的 \cdot OH信号谱图和本底信号谱图. 测试时每张谱图均采集 5 s,累积 10 万次.

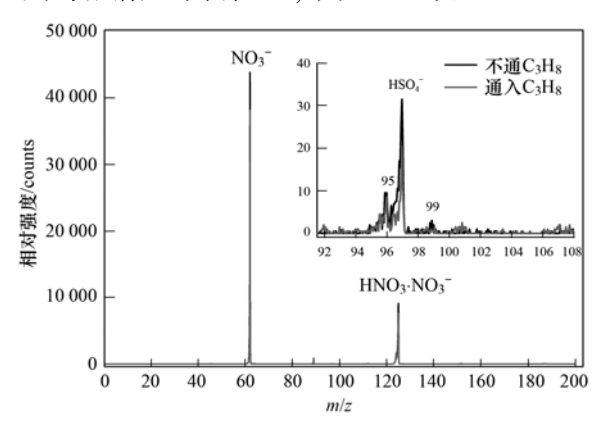


图 5 不同条件下实验室空气中·OH测试质谱

Fig. 5 Mass spectra of \cdot OH radical in the laboratory air under different experimental conditions

·OH的浓度可由质谱图中 HSO_4^- 和 NO_3^- 的信号强度估算出来,其计算公式为 $^{[20]}$:

$$[\cdot \text{OH}] = \frac{[\text{HSO}_4^-]}{[\text{NO}_3^-]kt} = \frac{\{\text{HSO}_4^-\}}{\{\text{NO}_3^-\}kt}$$
(6)

式中,[·OH]为·OH的浓度;[HSO₄]和[NO₃]分别为电离源中产生的HSO₄和NO₃离子的浓度; ${HSO_4^-}$ 和 ${NO_3^-}$ 分别表示实验测定的HSO₄和NO₃。离子强度,这里以质谱峰的积分面积作为计算标准;k是反应速率常数,其值为 2.6 × 10 -9 cm³·s^{-1[26]},准确度为 20%;t 为电离源中 NO₃和

 H_2SO_4 的离子分子反应时间,根据电离源中的电场强度、气体流速,利用 SIMION 软件进行模拟,得到 t 的值约为 0.08~s. 由于 NO_3^- 离子与 HSO_4^- 离子的质量数相差较小,二者在 TOFMS 中具有近似的离子传输效率与检测效率,因此,在利用公式(6) 对·OH 浓度进行计算时,所产生的误差较小.

由图 5,在扣除掉本底谱图中 HSO_4^- 质谱峰强度后,实验室空气中实际含有的·OH 所对应的 HSO_4^- 质谱峰积分强度约为 60 counts,而试剂离子 NO_3^- 的质谱峰积分强度约为180 000 counts,因此,实验中所测实验室空气中·OH的浓度为:

[・OH]_{实验室空气} =
$$\frac{\{\text{HSO}_{4}^{-}\}}{\{\text{NO}_{3}^{-}\}kt}$$
 =

 1.6×10^6 molecules • cm⁻³

图6对比了在不同条件下,对实验室空气中的 ·OH进行连续监测所得到的结果. 测试时, oa-TOFMS 工作于 20 kHz 的脉冲频率,连续采集过程 每张质谱图累积 5 s,共计 10 万次,谱图中纵轴为 HSO; 离子峰的积分面积. 实验中,分别在时间点 ①、③ 处向小孔①中通人 C,H,,测试实验室空气中 的本底信号强度;在时间点②、④ 处停止通入,测 试·OH的信号强度. 由图中可以看出,当 C,H, 通入 时,HSO₄ 离子的信号强度由 160 counts 锐减到 100 counts; 而当停止通入时,信号强度又迅速恢复. 这 一现象不仅与图 5 中单次采集情况下得到的质谱图 相吻合,而且体现了仪器的快速响应能力,能够满足 实时在线监测的要求. 在时间点⑤ 处,将固定于 ·OH滴定、转化反应管前端的笔式汞灯打开,得到 的 HSO。离子峰的信号强度要比直接测量实验室大 气中·OH的信号强度高出2个量级,约130倍. 这是

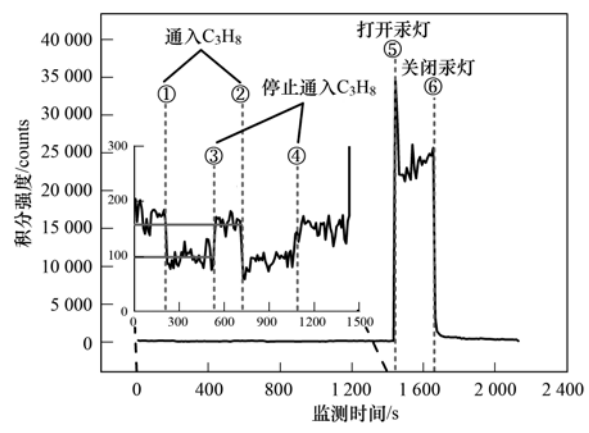


图 6 不同条件下测试实验室空气中·OH时 HSO₄ 质谱峰积分面积变化曲线

Fig. 6 Integral intensity of HSO₄ peak when measuring •OH radical in the laboratory air under different experimental conditions

因为在打开汞灯之后,紫外光的照射产生了大量的·OH. 在后续研究中,可以利用汞灯光解H₂O产生一定浓度的·OH来对仪器进行准确的动态标定.

3 结论

基于 CIMS 技术自行研制了一台连续测量大气活性自由基的负离子飞行时间质谱仪. 仪器采用了新型的双管正交式结构的大气压化学电离源,用于大气·OH的转化和电离. 飞行时间质谱的分辨率优于 600,5 s 实现了实验室空气中·OH的检测. 仪器主要性能稳定,操作灵活方便,可用于原位连续测量大气中的超痕量自由基,有望为研究城市大气灰霾形成的过程和原因提供高灵敏检测手段和可靠数据. 后续的研究重点将放在搭建浓度在线标定装置,以进一步提高自由基的测量精度和准确度,并将仪器应用于城市大气外场连续监测上,以对外场·OH实现在线定量分析.

参考文献:

- [1] 谭吉华, 赵金平, 段菁春, 等. 广州秋季灰霾污染过程大气 颗粒物有机酸的污染特征[J]. 环境科学, 2013, **34**(5): 1982-1987.
- [2] Coleman L, McVeigh P, Berresheim H, et al. Photochemical impact on ozone fluxes in coastal waters [J]. Advances in Meteorology, 2012, Article ID 943785, 6, doi:10.1155/2012/ 943785.
- [3] Liao J, Huey L G, Tanner D J, et al. Observations of hydroxyl and peroxy radicals and the impact of BrO at Summit, Greenland in 2007 and 2008 [J]. Atmospheric Chemistry and Physics, 2011, 11(16): 8577-8591.
- [4] 陈长虹, 苏雷燕, 王红丽, 等. 上海市城区 VOCs 的年变化特征及其关键活性组分[J]. 环境科学学报, 2012, 32(2): 367, 376
- [5] 乔月珍, 王红丽, 黄成, 等. 机动车尾气排放 VOCs 源成分谱及其大气反应活性[J]. 环境科学, 2012, **33**(4): 1071-1079.
- [6] 花磊, 吴庆浩, 侯可勇, 等. 膜进样-单光子电离/化学电离-质谱仪在线检测水中 VOCs[J]. 环境科学, 2011, **32**(12): 3628-3634
- [7] 刘全,王跃思,吴方堃,等. 长沙大气中 VOCs 研究[J]. 环境科学,2011,32(12):3543-3548.
- [8] 韩忠娟, 罗福坤, 李泽清. 蜂窝状活性炭对 VOCs 的吸-脱附性能研究[J]. 环境科学, 2011, **32**(12): 3662-3666.
- [9] 李想, 陈建民. 新型动态针捕集阱技术分析大气中低浓度的 VOCs[J]. 环境科学, 2011, **32**(12): 3613-3616.
- [10] 崔虎雄,吴迓名,高松,等.上海城区典型污染过程 VOCs 特征及臭氧潜势分析[J].环境科学,2011,32(12);3537-3542.
- [11] Kaser L, Karl T, Schnitzhofer R, et al. Comparison of different real time VOC measurement techniques in a ponderosa pine forest

- [J]. Atmospheric Chemistry and Physics, 2013, 13(5): 2893-2906.
- [12] Levy H. Normal atmosphere: large radical and formaldehyde concentrations predicted[J]. Science, 1971, 173(3992): 141-143.
- [13] Lelieveld J, Butler T M, Crowley J N, et al. Atmospheric oxidation capacity sustained by a tropical forest [J]. Nature, 2008, 452(7188): 737-740.
- [14] Guenther A. Are plant emissions green? [J]. Nature, 2008, 452(7188): 701-702.
- [15] Rohrer F, Berresheim H. Strong correlation between levels of tropospheric hydroxyl radicals and solar ultraviolet radiation [J]. Nature, 2006, 442 (7099): 184-187.
- [16] Wennberg P O. Radicals follow the Sun[J]. Nature, 2006, 442 (7099): 145-146.
- [17] Berndt T, Boge O, Stratmann F, et al. Rapid formation of sulfuric acid particles at near-atmospheric conditions [J]. Science, 2005, 307(5710): 698-700.
- [18] 任信荣,王会祥,邵可声,等.北京市大气·OH自由基测量结果及其特征[J].环境科学,2002,23(4);24-27.
- [19] Houghton J T, Meira F L G, Bolin B, et al. Climate Change 1994, Radiative Forcing of Climate Change and an Evaluation of the IPCC IS92 Emission Scenarios [M]. Great Britain: Cambridge University Press, 1994. 73-125.

- [20] Berresheim H, Elste T, Plass-Dulmer C, et al. Chemical ionization mass spectrometer for long-term measurements of atmospheric ·OH and H₂SO₄ [J]. International Journal of Mass Spectrometer, 2000, 202(1-3): 91-109.
- [21] Heard D E, Pilling M J. Measurement of •OH and HO₂ in the Troposphere [J]. Chemical Reviews, 2003, **103** (12): 5163-5198.
- [22] Amedro D, Miyazaki K, Parker A, et al. Atmospheric and kinetic studies of •OH and HO₂ by the FAGE technique [J]. Journal of Environmental Sciences, 2012, **24**(1): 78-86.
- [23] Felton C C, Sheppard J C, Campbell M J. Measurements of the diurnal ·OH cycle by a ¹⁴C-tracer method [J]. Nature, 1988, 335(6185): 53-55.
- [24] Felton C C, Sheppard J C, Campbell M J, et al. The Radiochemical Hydroxyl Radical Measurement Method [J]. Environmental Science & Technology, 1990, 24 (12): 1841-1847
- [25] Kukui A, Ancellet G, Bras G L, et al. Chemical ionisation mass spectrometer for measurements of •OH and Peroxy radical concentrations in moderately polluted atmosphere [J]. Journal of Atmospheric Chemistry, 2008, 61(2): 133-154.
- [26] Vigggiano A A, Perry R A, Albritton D L, et al. Stratospheric negative-ion reaction rates with H₂SO₄ [J]. Journal of Geophysical Research, 1982, 87 (C9): 7340-7342.

HUANJING KEXUE

Environmental Science (monthly)

Vol. 35 No. 5 May 15, 2014

CONTENTS

Emission Factors and PM Chemical Composition Study of Biomass Burning in the Yangtze River Delta Region Size Distributions and Source Apportionment of Soluble Ions in Aerosol in Nanjing Characteristics of Particulate Matters and Its Chemical Compositions During the Dust Episodes in Shanghai in Spring, 2011 Numerical Modeling Analysis of Secondary Organic Aerosol (SOA) Combined with the Ground-based Measurements in the Pearl Riv	
Numerical modeling Analysis of Secondary Organic Aerosol (SOA) Combined with the Ground-based measurements in the Fear Aiv	CHO Vissalana CHTH Charina WANG Varani at al. (1654)
Observation of a Photochemical Event in Jiaxing During Summer 2013	GUU Alao-snuang, SHIU Snu-ping, WAING Aue-mei, et al. (1054)
Spatial and Temporal Variations of Near Surface Atmospheric CO ₂ with Mobile Measurements in Fall and Spring in Xiamen, China	LI Yan-li, XING Zhen-yu, MU Chao, et al. (16/1)
Isotope Compositions of Elemental Carbon in the Smoke and Ash from Crop Straw Combustion	
Development of a Chemical Ionization Time-of-Flight Mass Spectrometer for Continuous Measurements of Atmospheric Hydroxyl Radi	cal DOU Jian, HUA Lei, HOU Ke-yong, et al. (1008)
Residual Levels of Acetochlor in Source Water and Drinking Water of China's Major Cities	YU Zhi-yong, JIN Fen, LI Hong-yan, et al. (1694)
Vertical Distribution of Water Quality and Its Influence on Underwater Light Field in Lake Chaohu	
Correlation Between Aquatic Plant Diversity and Water Environment in the Typical Sites of Hangzhou Section of the Beijing-Hangzhou	ou Grand Canal
Nitrogen and Phosphate Pollution Characteristics and Eutrophication Evaluation for Typical Urban Landscape Waters in Hefei City	
Distribution of Nitrogen and Phosphorus in the Sediments and Estimation of the Nutrients Fluxes in Longjinghu Lake, Chongqing Cit	y, During the Initial Impoundment Period
Pollution Characteristics and Health Risk Assessment of Organochlorine Pesticides (OCPs) in the Water of Lake Qiandao and Its Ma	ajor Input Rivers
	····· TANG Fang-liang, ZHANG Ming, XU Jian-fen, et al. (1735)
Distribution of Potential Pathogenic Bacteria in the Jiulong River Watershed	
Influence of the River-lake Relation Change on the Distribution of Heavy Metal and Ecological Risk Assessment in the Surface Sedin	nent of Poyang Lake ·····
Spatiotemporal Variation Characteristics of Heavy Metals Pollution in the Water, Soil and Sediments Environment of the Lean River-	Poyang Lake Wetland
	JIAN Min-fei, LI Ling-yu, XU Peng-fei, et al. (1759)
Dissolved Organic Matter (DOM) Dynamics in Karst Aquifer Systems	
Sensitivity Analysis of AnnAGNPS Model's Hydrology and Water Quality Parameters Based on the Perturbation Analysis Method	
Movement Characteristics of Cyanobacteria Under Stress of Water-Lifting Aeration	
Influence of Light Wavelength and Intensity on the Reduction of Divalent Mercury in Aquatic System	······ LI Xi-jia, ZHONG Zi-xuan, SUN Rong-guo, et al. (1788)
Dynamic Effects of Commonly Co-Existing Anions on the Removal of Selenite from Groundwater by Nanoscale Zero-Valent Iron	··········· YANG Wen-jun, GUO Ying-qing, DU Er-deng (1793)
BiOBr Promoted the Photocatalytic Degradation of Beta-cypermethrin Under Visible Light	
Adsorption of Methylene Blue from Aqueous Solution onto Magnetic Fe ₃ O ₄ /Graphene Oxide Nanoparticles	
Selection of Electrochemical Anodic Materials for PFOA Degradation and Its Mechanism	ZHUO Qiong-fang, DENG Shu-bo, XU Zhen-cheng, et al. (1810)
Occurrence and Fate of Typical Antibiotics in a Wastewater Treatment Plant in Southwest China	
Effects and Mechanism on Removing Organics and Reduction of Membrane Fouling Using Granular Macro-Porous Anion Exchange R	
	······ HE Huan, DONG Bing-zhi, XU Guang-hong, et al. (1824)
Research on Treatment of High Salt Wastewater by the Graphite and Activated Carbon Fiber Composite Electrodes	
Preparation and Application of the Quinonyl Chloromethylation Polystyrene in Biological Treatment of Wastewater	
Enhanced Electro-Catalytic Oxidation of Dye Wastewater with FePMo ₁₂ Adopted Catalyst	
Formation and Characterization of Aerobic Granules in a Pilot-scale Reactor for Real Wastewater Treatment	
Research on Cultivation of Aerobic Granular Sludge and Its Characteristics in Sequencing Fed Batch Reactor	
Effect of Different Volume Loading of Aerobic/Anaerobic Zone on Nitrogen and Phosphorus Removal by Biofilm and Granular Sludge	
	······································
Adsorption of Cu ²⁺ by Xanthate-Functionalized Waste Sludge ····	
Mechanisms of Copper Uptake by Submerged Plant Hydrilla verticillata (L. f.) Royle and Myriophyllum spicatum L.	
Properties of Maize Stalk Biochar Produced Under Different Pyrolysis Temperatures and Its Sorption Capability to Naphthalene	
Beijing Common Green Tree Leaves' Accumulation Capacity for Heavy Metals	
Assessment of Heavy Metal Contamination by Moss-bag Method and Road-dust Method for Taizhou Urban Area	
Effect of Grazing on the Temperature Sensitivity of Soil Respiration in Hulunber Meadow Steppe	
Variation Characteristic in Soil Respiration of Apple Orchard and Its Biotic and Abiotic Influencing Factors	
Influencing Factors of Mercury Emission Flux from Forest Soil at Tieshanping, Chongqing	
Characteristics of Arsenic Content in the Livestock Farms' Surrounding Environment in Shanghai Suburbs	
Input and Distribution of Rice Photosynthesized Carbon in the Tillering Stage Under Different Nitrogen Application Following Continu	
input and Distribution of ruce Photosynthesized Carbon in the Timering Stage Officer Different Nitrogen Application Pollowing Continu	TAN I: WILLIA ILLIA (1022)
Simulation Study on the Effect of Salinity on the Adsorption Behavior of Mercury in Wastewater-Irrigated Area	
Leaching Behavior of Pb, Cd and Zn from Soil Stabilized by Lime Stabilized Sludge	
Levels and Distribution of Short Chain Chlorinated Paraffins in Seafood from Dalian, China	
Application of Biotic Ligand Model for the Acute Toxicity of Copper to Daphnia magna in Water of Liaohe River and Taihu Lake	
Phytotoxicity of Copper Oxide Nanoparticles to Metabolic Activity in the Roots of Rice	
Enhancing Effect of Tween 80 on Degradation of Triphenyltin by Bacillus thuringiensis	
Long-term Performance of Microbial Fuel Cell Using Manure as Substrate	
Influence of Goethite on Anaerobic Fermentation of Organic Fraction of Municipal Solid Waste (OFMSW)	
Pollutants Produced in Municipal Refuse Container During Transfer Process	
Selective Catalytic Oxidation of H ₂ S over Supported Fe Catalysts on CeO ₂ -Intercalated Laponite Clay	
Preparation by Different Methods and Characterization of Desulfurization Mixed Oxides Derived from Hydrotalcites	
Sampling Methods for PM _{2, 5} from Stationary Sources; a Review	
A Research Overview of Methanogens	LI Yu-shan, LI Yao-ming, OUYANG Zhi-yun (2025)

《环境科学》第6届编辑委员会

主 编:欧阳自远

副主编:赵景柱 郝吉明 田 刚

编 委:(按姓氏笔画排序)

万国江 王华聪 王凯军 王绪绪 田 刚 田 静 史培军

朱永官 刘志培 汤鸿霄 陈吉宁 孟 伟 周宗灿 林金明

欧阳自远 赵景柱 姜 林 郝郑平 郝吉明 聂永丰 黄 霞

黄耀 鲍强潘纲潘涛魏复盛

环烷种草

(HUANJING KEXUE)

(月刊 1976年8月创刊)

2014年5月15日 35卷 第5期

ENVIRONMENTAL SCIENCE

(Monthly Started in 1976)

Vol. 35 No. 5 May 15, 2014

主	管	中国科学院	Superintended	by	Chinese Academy of Sciences
主	办	中国科学院生态环境研究中心	Sponsored	by	Research Center for Eco-Environmental Sciences, Chinese
协	办	(以参加先后为序)			Academy of Sciences
		北京市环境保护科学研究院	Co-Sponsored	by	Beijing Municipal Research Institute of Environmental
		清华大学环境学院			Protection
主	编	欧阳自远			School of Environment, Tsinghua University
	辑	《环境科学》编辑委员会	Editor-in -Chief		OUYANG Zi-yuan
2110	1	北京市 2871 信箱(海淀区双清路	Edited	by	The Editorial Board of Environmental Science (HUANJING
		18号,邮政编码:100085)			KEXUE)
		电话:010-62941102,010-62849343			P. O. Box 2871, Beijing 100085, China
		传真:010-62849343			Tel:010-62941102,010-62849343; Fax:010-62849343
		E-mail; hjkx@ rcees. ac. cn			E-mail: hjkx@ rcees. ac. cn
		http://www.hjkx.ac.cn			http://www. hjkx. ac. cn
出	版	斜望出版社	Published	by	Science Press
		北京东黄城根北街 16 号			16 Donghuangchenggen North Street,
		邮政编码:100717			Beijing 100717, China
印刷装计	ìŢ	北京北林印刷厂	Printed	by	Beijing Bei Lin Printing House
发	行	斜学出版社	Distributed	by	Science Press
		电话:010-64017032			Tel:010-64017032
		E-mail: journal@ mail. sciencep. com			E-mail:journal@mail.sciencep.com
订购	处	全国各地邮电局	Domestic		All Local Post Offices in China
国外总发征	行	中国国际图书贸易总公司	Foreign		China International Book Trading Corporation (Guoji
		(北京 399 信箱)			Shudian), P. O. Box 399, Beijing 100044, China

中国标准刊号: ISSN 0250-3301 CN 11-1895/X

国内邮发代号: 2-821

国内定价:90.00元

国外发行代号: M 205

国内外公开发行